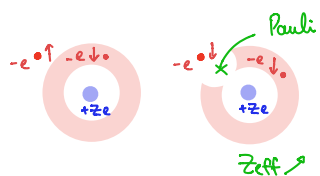


	réponse linéaire		réponse non-linéaire
	diamagnétisme	paramagnétisme	ferromagnétisme
	$\chi_m < 0$	$\chi_m > 0$	$\chi_m (\vec{H}, T, \text{histoire...})$
exemples	gaz rare, N ₂	alcalins, O ₂	Fe, Ni, Co
comportement macroscopique	attiré par les champs faibles	attiré par les champs forts	moment magnétique permanent
interprétation microscopique <i>(admis pour le moment)</i>	molécules sans moment magnétique	énergie d'interaction magnétique << énergie d'agitation thermique	énergie d'agitation thermique << énergie d'interaction magnétique



Milieux magnétiques

Cas (i) réponse linéaire $\vec{M} = \chi_m \vec{H}$. Milieu LTI $\vec{M} = \chi_m \vec{H}$

$\chi_m < 0$ milieu diamagnétique
dépend peu de T

$\chi_m \sim -10^{-5}$ phase condensée
 $\chi_m \sim -10^{-9}$ phase gazeuse

$\chi_m > 0$ milieu paramagnétique
 $\chi_m = \frac{C}{T}$ loi de Curie
plus intense que le diamagnétisme

pour les matériaux linéaires : perméabilité $\mu = \mu_0 \mu_r$
perméabilité relative $\mu_r = 1 + \chi_m$

Cas (ii) réponse non linéaire $\vec{B} = \mu(\vec{B}) \vec{H}$ $\mu_r \rightarrow$ dépend fortement de T
mal définie à cause de l'hystéresis.
milieu paramagnétique $\propto T \geq T_c$.

Force subie dans un gradient de champ

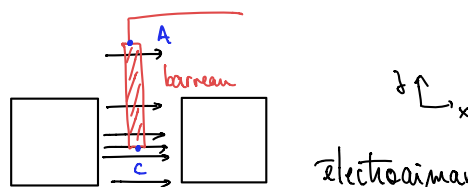
$$\vec{F} = \iiint_V (\vec{M} \cdot \vec{V}) \vec{B} dV \text{ or } \vec{M} = \chi_m \vec{H} = \frac{\chi_m}{1+\chi_m} \frac{\vec{B}}{\mu_0} \approx \chi_m \frac{\vec{B}}{\mu_0} \quad \text{où } |\chi_m| < 10^{-3} \text{ paramagnétique/diamagnétique}$$

$$\hookrightarrow \vec{F} \approx \iiint_V \chi_m \frac{\nabla |B_{ext}|^2}{2\mu_0} dV$$

- * paramagnétique : $\chi_m > 0$ attire vers les zones de champ fort
- * diamagnétique : $\chi_m < 0$ faible

Mesure de susceptibilité

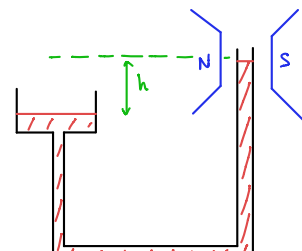
(1) balance de Gray



électroaimant $\vec{B} = B(z) \hat{e}_x$

$$\vec{F} = \iiint_V \chi_m \frac{\vec{V} B^2}{2\mu_0} dV = \frac{\chi_m}{2\mu_0} \cdot S \cdot \int_C^A \frac{d(B^2)}{dz} dz \hat{e}_x = \frac{\chi_m \cdot S}{2\mu_0} (B^2(A) - B^2(C))$$

avec $B(A) \ll B(C)$, $\vec{F} \approx -\chi_m S \frac{B(C)^2}{2\mu_0} \hat{e}_z$ indép. de la longueur du barreau



(2) Ascension d'un fluide paramagnétique (FeCl_3 en TP)

la force volumique exercée sur le fluide dérive d'un gradient $f_{vol} \approx \chi_m \frac{1}{2\mu_0} \vec{V} |B_{ext}|^2$

on repère la relation de Bernoulli

$$\frac{v_1^2}{2} + \frac{P}{\rho} + g z_1 - \frac{\chi_m B_{ext}^2}{2\mu_0 \rho} = \text{cst}$$

aux deux interfaces, en négligeant la capillarité,

$$P_1 = P_2 = P_{atm}, v_1 = v_2 = 0, B_{ext,1} = 0, B_{ext,2} \equiv B$$

$$\ell g h = \frac{\chi_m B^2}{2\mu_0}$$

calibration avec une sonde à effet Hall

Approximation de champ moyen

Motivation : on sait déjà qu'à $T \rightarrow 0$ les spins sont ordonnés et $T \rightarrow \infty \langle M \rangle = 0$
 on veut calculer $M(T)$ mais il y a peu de modèles solvables (Ising 1D, 2D)
 ↳ on fait des approximations

Champ moléculaire ou champ de Weiss : deux étapes

- examiner un site et le résoudre exactement en approximant toute grandeur hors du site par sa valeur moyenne. $\sigma_i = f(\langle \sigma \rangle, T, \dots)$
- imposer l'autocohérence : chaque site a la valeur moyenne d'ensemble $\langle \sigma \rangle = f(\langle \sigma \rangle, T, \dots)$

Application : Modèle d'Ising spin $\frac{1}{2}$

$$\mathcal{H} = -\frac{1}{2} J \sum_{\langle i,j \rangle} \sigma_i \sigma_j + g \mu_B B \sum_j \sigma_j$$

\vec{z} voisins
 $\vec{B} = B \vec{e}_z$
 axe de quantification $z \rightarrow \sigma = \sigma_z = \pm \frac{1}{2}$
 $\text{pas de } \frac{1}{2}$
 $g \mu_B B_{\text{eff},i}$

(i) on se concentre sur le site i : $\mathcal{H}_i = \left(g \mu_B B - J \sum_{j \text{ voisin de } i} \sigma_j \right) \sigma_i$ NB: $H \neq \sum_i \mathcal{H}_i$ car on n'a pas mis $\frac{1}{2}$

pour $j \neq i$, on remplace σ_j par $\langle \sigma_j \rangle \rightarrow \mathcal{H}_i = \left(g \mu_B B - J \sum_{j \text{ voisin de } i} \langle \sigma_j \rangle \right) \sigma_i = g \mu_B \langle B_{\text{eff},i} \rangle \sigma_i$

on résout le site i : $z_i = e^{\frac{g \mu_B \langle B_{\text{eff},i} \rangle}{2}} + e^{-\frac{g \mu_B \langle B_{\text{eff},i} \rangle}{2}} = 2 \cosh\left(\frac{g \mu_B \langle B_{\text{eff},i} \rangle}{2}\right)$

même calcul que le paramagnétisme

$$F_i = kT \ln z_i = kT \left\{ \ln \cosh\left(\frac{g \mu_B \langle B_{\text{eff},i} \rangle}{2kT}\right) + \ln 2 \right\}$$

$$\langle \sigma_i \rangle = -\frac{1}{g \mu_B} \frac{\partial F_i}{\partial \langle B_{\text{eff},i} \rangle} = -\frac{1}{g \mu_B} \cdot kT \cdot \frac{g \mu_B}{2kT} \cdot \tanh\left(\frac{g \mu_B \langle B_{\text{eff},i} \rangle}{2kT}\right)$$

$$\boxed{\langle \sigma_i \rangle = -\frac{1}{2} \tanh\left(\frac{g \mu_B \langle B_{\text{eff},i} \rangle}{2kT}\right)}$$

(ii) On impose l'autocohérence : pour tout i , $\langle \sigma_i \rangle = \langle \sigma \rangle$

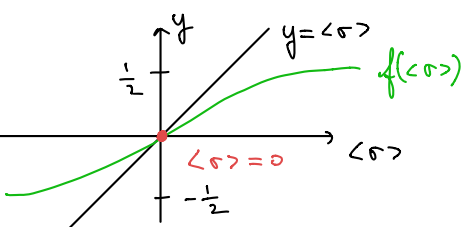
donc $\langle \sigma \rangle = -\frac{1}{2} \tanh\left(\frac{1}{2kT} (g \mu_B B - Jz \langle \sigma \rangle)\right)$ équation d'autocohérence

Résolution graphique : $\overline{a} B=0$

$$\langle \sigma \rangle = \frac{1}{2} \tanh\left(\frac{Jz}{2kT} \langle \sigma \rangle\right)$$

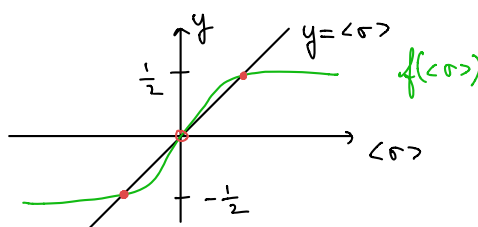
sur le plot, $c_m = 2 \langle \sigma \rangle \mu_B$ ↳ $\overset{\text{g spin}}{\curvearrowleft}$

$T > T_c$



$$\langle \sigma \rangle = 0$$

$T < T_c$



$$\langle \sigma \rangle = \pm \sigma^* \neq 0 \quad \begin{matrix} \text{stable} \\ \text{instable} \end{matrix}$$

$T = T_c$

$y = \langle \sigma \rangle$ et $y = f(\langle \sigma \rangle)$ sont tangentes en 0

$$\hookrightarrow 1 = \frac{Jz}{4kT_c} \rightarrow \boxed{k_B T_c = \frac{Jz}{4}}$$

température de Curie

→ examiner $\frac{\partial^2 F}{\partial \sigma^2}$

Susceptibilité paramagnétique

En champ faible, l'équation d'auto-coherence donne à l'ordre 1 : $\langle \sigma \rangle = \frac{1}{4kT} (Jz\langle \sigma \rangle - g\mu_B B)$

Donc $\langle \sigma \rangle = \frac{-g\mu_B B}{4kT - Jz} = \frac{-g\mu_B B}{4k_B(T - T_c)} \quad M = \frac{N}{V} (-g\mu_B \langle \sigma \rangle) = \frac{N}{V} \frac{(g\mu_B)^2 B}{4k_B(T - T_c)}$

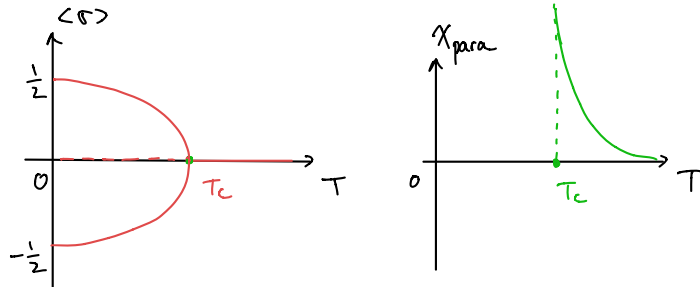
avec $B \approx \mu_0 H$

$$X = \frac{\partial M}{\partial H} = \frac{N}{V} \frac{\mu_0 (g\mu_B)^2}{4k_B(T - T_c)} = \frac{X_{\text{Curie}}(T)}{1 - T_c/T}$$

spin libre

loi de Curie-Weiss

$X \propto \frac{1}{T - T_c}$



la susceptibilité diverge à $T \rightarrow T_c$
Cette divergence est physique.

Antiferromagnétisme

on fait $J \rightarrow -J$

$$X = \frac{X_{\text{Curie}}(T)}{1 + \frac{T_N}{T}}$$

Même X permet de déterminer l'antiferromagnétisme

champ moyen à la fin

$$H = -g\mu_B B \sum_i \sigma_i - J \sum_{i,j} \sigma_i \sigma_j$$

$$\sigma_i = \langle \sigma \rangle - (\langle \sigma \rangle - \sigma_i)$$

$$\sigma_i \sigma_j = \cancel{\langle \sigma \rangle^2} - \cancel{\langle \sigma \rangle} (\cancel{\langle \sigma \rangle} - \sigma_i + \cancel{\langle \sigma \rangle} - \sigma_j) \\ - (\cancel{\langle \sigma \rangle} - \sigma_i)(\cancel{\langle \sigma \rangle} - \sigma_j) \text{ fluctuation}$$

$$\simeq -\langle \sigma \rangle^2 + \langle \sigma \rangle (\sigma_i + \sigma_j)$$

$$\beta_{\text{eff}} =$$

$$H = -g\mu_B B \sum_i \sigma_i + \frac{NzJ}{2} \langle \sigma \rangle^2 - J \langle \sigma \rangle \sum_{i,j} (\sigma_i + \sigma_j)$$

$\langle \sigma_i \sigma_j \rangle$ si les paires

- pas de facteur 2!

$- J \langle \sigma \rangle \cdot z \cdot \sum_i \sigma_i$

$$H = -g\mu_B \left(\beta + \underbrace{\frac{Jz}{g\mu_B} \cdot \langle \sigma \rangle}_{B_{eff}} \right) \sum_i \sigma_i + \frac{NzJ}{Z} \langle \sigma \rangle^2$$

$$H = \sum_i \left(-g\mu_B B_{eff} \sigma_i + \underbrace{\frac{zJ}{2} \langle \sigma \rangle^2}_{H_i} \right)$$

$H_i \leftarrow$ syst à 2 niveaux

$$E_\pm = \pm g\mu_B B_{eff} \frac{1}{2} + \frac{zJ \langle \sigma \rangle^2}{2}$$

$$Z_i = \left[\exp \left\{ -\frac{zJ}{2kT} \langle \sigma \rangle^2 \right\} \right] \times \underbrace{2 \cdot \text{ch} \left(\frac{g\mu_B B_{eff}}{2kT} \right)}_{\text{comm le pote}}^2$$

$$Z_{cm} = Z_i^n$$

$$F_{cm} = -kT \ln Z_{cm} = \frac{NzJ}{2} \langle \sigma \rangle^2 - NkT \ln \left(2 \text{ch} \left(\frac{g\mu_B B_{eff}}{2kT} \right) \right)$$

$$\frac{\delta F_{cm}}{\delta \langle \sigma \rangle} = 0 \Leftrightarrow \text{autocohérence}$$

$$\beta = 0 \rightarrow F_{cm} = Nk_B \left(2T_c \langle \sigma \rangle^2 - T \ln \left(2 \text{ch} \left(\frac{T_c}{T} \langle \sigma \rangle \right) \right) \right)$$

$$F_{cm} = Nk_B \left(\frac{T_c \langle \sigma \rangle^2}{2} - T \ln \left(2 \text{ch} \left(\frac{T_c}{T} \langle \sigma \rangle \right) \right) \right)$$